

## افروزش سریع-شوکی رهیافتی نوین برای همجوشی محصور سازی اینرسی

امیر حسین فرهبد و سید ابوالفضل قاسمی

پژوهشکده لیزر و اپتیک، پژوهشگاه علوم و فنون هسته ای، تهران

پست الکترونیکی: afarabhbod@aeoi.org.ir

(دریافت مقاله: ۱۳۹۰/۱۲/۱۴؛ دریافت نسخه نهایی: ۱۳۹۱/۸/۱)

### چکیده

در این مقاله رهیافت نوینی برای همجوشی محصور سازی اینرسی به نام افروزش سریع-شوکی معرفی شده است. مدل ارائه شده نشان می دهد که تحت شرایط مناسب، جدا کردن افروزش سوخت متراکم شده به دو مرحله می تواند منجر به کاهش انرژی کل برای افروزش سوخت و افزایش بهره انرژی شود. در این روش پس از مرحله ایستایی سوخت در دو مرحله، و با اعمال تپ کوتاه بر توان لیزر به روش افروزش سریع و موج ضربه به روش افروزش شوکی و با تأخیر زمانی مناسب، و انرژی و توانی کمتر از آنچه که در هر روش به تنها یی به کار می رود، دمای لکه داغ مؤثر پدید آمده افزایش یافته و افروزش سوخت کامل می شود. مدل تحلیلی ارائه شده بر پایه نتایج محاسبات عددی برای آستانه آغاز همجوشی برای لکه داغ محصور شده با سوخت متراکم شده نشان می دهد که با اعمال روش ترکیبی افروزش سریع-شوکی و به ازای جرم اولیه ثابت سوخت، از انرژی کل لازم برای افروزش سوخت در مقایسه با انرژی افروزش شوکی کاسته می شود. در این حال بهره انرژی تا ۱۵ درصد افزایش می یابد که مزیت مهمی محسوب می شود. با تنظیم مناسب محرک افروزنده شوکی و همزمان حفظ مزایای اشاره شده برای هدف با جرم سوخت بیش از ۲ میلی گرم می توان از سهم محرک افروزنده سریع تا حدود ۲۰ درصد نسبت به شرایط مشابه با ساز و کار صرفاً افروزش سریع کاست. ویژگی اخیر از دیدگاه فناوری ساخت محرک های بر انرژی لیزر با پهنه ای تپ چند پیکوثانیه از اهمیت فراوانی برخوردار است. نمایه مزیت برای روش افروزش سریع-شوکی در مقایسه با روش افروزش شوکی می تواند بهتر از ۱/۳ باشد.

**واژه های کلیدی:** افروزش سریع، افروزش شوکی، افروزش سریع-شوکی، همجوشی محصور سازی اینرسی، مدل نا هم فشار

### ۱. مقدمه

محاسبات نشان می دهند که انرژی افروزش<sup>۴</sup> در ساز و کار افروزش سریع به صورت  $E_{if} \sim \rho_c^{-2}$  به چگالی سوخت متراکم شده ( $g.cm^{-3}$ )  $\rho_c$  وابسته است [۲ و ۷]. محاسبات عددی اتنزی<sup>۵</sup> نشان می دهند که برای افروزش سریع سوخت به کمک باریکه اکترونی نسبیتی و به ازای برد ( $g.cm^{-2}$ )  $R \leq 1/2$  برای الکترون های سریع، انرژی

افروزش سریع<sup>۱</sup> روشی مؤثر برای همجوشی محصور سازی اینرسی به شمار می آید [۱ - ۴]. در این روش بر خلاف مدل افروزنده مرکزی<sup>۲</sup>، مرحله متراکم کردن سوخت تا مرحله ایستایی<sup>۳</sup> از افروزش سوخت فشرده شده جدا شده است و بدین ترتیب بهره انرژی از مرتبه  $G \sim 10^0$  به دست می آید [۸-۴].

۱. Fast ignition

۲. Central ignition

۳. Stagnation

۴. Ignition energy

۵. Atzeni

$$r_{opt} = 60 \hat{\rho}_c^{-0.97} \text{ } (\mu\text{m}) \quad (2)$$

$E_{if}^{opt}$  که آن را با  $E_{if}^{opt}$  نشان می‌دهیم، انرژی آستانه برای آغاز افروزش سریع است و به کمترین مقدار بهره انرژی به ازای  $\rho_c = 300 \text{ g.cm}^{-3}$  معلوم منجر می‌شود. برای چگالی  $\eta_{if} = 0.25$  و پهنه‌ای زمانی تپ لیزر  $\tau \sim 21 \text{ ps}$ ، برای انرژی لکه داغ داریم:

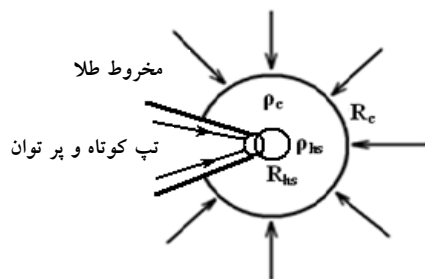
$$E_{hf}^{opt} = \eta_{if} E_{if}^{opt} = 18/3 \text{ kJ.}$$

ساخت محرك‌های لیزری پیکو ثانیه‌ای با انرژی از مرتبه ۱۰۰ کیلو ژول مهم ترین معضل فنی برای اجرای روش افروزش سریع به شمار می‌آید. از سوی دیگر تمرکز باریکه لیزر افروزنده<sup>۲</sup> تا شاعع کمتر از  $20 \mu\text{m}$  بر روی هدف نیز کار آسانی نیست. در روش افروزش شوکی<sup>۳</sup> نیز دو مرحله تراکم سوخت و افروزش سوخت از یکدیگر جدا شده‌اند و همچنین در این روش نیازی به باریکه‌های پر انرژی پتا واتی و پیکوثانیه‌ای لیزر نمی‌باشد [۱۵-۱۸]. با این حال به نظر می‌رسد که بتوان با به کارگیری مزایای هر دو روش افروزش سریع و افروزش شوکی به همراه تفکیک مرحله افروزش به دو مرحله، مزیت بیشتری نسبت به اجرای هر روش به تنها ۴ به دست آورد. روش ترکیبی را افروزش سریع-شوکی<sup>۴</sup> می‌نامیم.

## ۲. افروزش سریع-شوکی

در روش پیشنهادی افروزش سریع-شوکی، همچوشه مخصوص سازی اینرسی در ۳ مرحله انجام می‌شود: تراکم ریزکره سوخت تا مرحله ایستایی و افروزش در دو مرحله به گونه‌ای که در هر مرحله انرژی محرك افروزنده کمتر از آن است که بتواند سوخت تراکم شده را به تنها ی به نحو مؤثر و کارآمدی مشتعل سازد، شکل ۱. باریکه افروزنده سریع را می‌توان به روش اعمال تپ پر توان لیزر با پهنه‌ای در حد  $100 \text{ }\mu\text{m}$  پیکوثانیه برای پس زنی سطح بحرانی پلاسمای سوخت تراکم شده [۱]

باریکه‌های متراکم کننده و افروزنده سوخت



شکل ۱. سازوکار افروزش سریع-شوکی. فرآیند همچوشه سوخت متراکم شده با چگالی  $\rho_c$  و شاعع  $R_c$  در دو مرحله و با تأخیر زمانی مناسب میان افروزش شوکی برای لکه داغ مرکزی با شاعع  $R_{hs}$  و چگالی  $\rho_{hs}$ ، و افروزش سریع لکه داغ کناری با شاعع  $R_{hf}$  که با استفاده از باریکه لیزر پر توان با پهنه‌ای تپ کوتاه و تولید الکترون‌های نسبیتی و جذب آنها در سوخت انجام می‌شود.

موردنیاز برای محرك لیزری با رابطه (۱) داده می‌شود [۷]. ارتباط انرژی محرك  $E_{if}$ ، و انرژی لکه داغ<sup>۱</sup>  $E_{hf}$ ، برابر است با  $E_{if} = E_{hf} / \eta_{if}$  که  $\eta_{if} = E_{hf} / E_{if}$  ضریب جفت شدگی باریکه محرك لیزر با سوخت است.

$$E_{if} = \max(E_1, E_2) \quad (1)$$

$$E_1 = \frac{56}{(\hat{\eta}_{if})} (\hat{\rho}_c)^{-0.85} \times \max(1, \frac{r_b}{r_{opt}}) \text{ (kJ)},$$

$$E_2 = 1120 (\hat{\rho}_c)^{-0.9} \left[ \frac{1/2 f_R \hat{\lambda}_{if}}{R_0 \hat{\eta}_{if}} \right]^2 \text{ (kJ)},$$

$R_0$  حد بالای برد الکترون‌ها در سوخت است. برد الکترون‌ها،  $R$ ، به صورت  $R \approx 6 f_R T_{fast} \text{ (g.cm}^{-2}\text{)}$  به دمای الکترون،  $T_{fast}$  (MeV)، وابسته است. ضریب  $f_R$  در حد ۱ است.  $\hat{\lambda}_{if} = \frac{\lambda_{if} (\mu\text{m})}{1.06}$  و  $\hat{\rho}_c = \frac{\rho_c (\text{g.cm}^{-3})}{100}$  به ترتیب چگالی، ضریب جفت شدگی و طول موج لیزر محرك سریع بهنجار شده می‌باشند.  $\eta_{if} = 0.25$  با میانگین مقادیر تجربی و محاسبه شده برای الکترون‌های سریع با انرژی  $r_b \sim 2 \text{ MeV}$  و چگالی  $200 \text{ g.cm}^{-3}$  سازگاری دارد [۹-۱۱]. شاعع لکه باریکه کانونی شده لیزر و  $r_{opt}$ ، شاعع بهینه لکه کانونی شده درون سوخت است، رابطه (۲) [۷].

<sup>۱</sup>. Ignitor

<sup>۲</sup>. Shock ignition

<sup>۳</sup>. Fast-shock ignition

<sup>۴</sup>. Hot spot

در ساز و کار افروزش شوکی، انرژی لکه داغ مرکزی  $E_{hs}$  طبق مدل ناهم فشار<sup>۳</sup> [۱۴، ۱۵] و رابطه (۵) به چگالی سوخت متراکم شده و پارامترهای مدل وابسته است.

$$E_{hs} = 5 / 29 \times 10^{11} (\beta\gamma)^3 \varepsilon^2 \alpha^{-2} \rho_c^{-3/23} \quad (\text{kJ}). \quad (5)$$

در رابطه (۵)، پارامتر آدیاباتیک  $\alpha$ ، برابر است با فشار سوخت متراکم شده به فشار فرمی و  $\varepsilon$  نسبت فشار سوخت متراکم شده به فشار لکه داغ است.  $\beta$  طبق رابطه (۶) به چگالی سطحی لکه داغ مربوط می‌شود [۱۴].

$$\rho_{hs} R_{hs} = 0 / 4 \beta \quad (\text{g.cm}^{-3}), \quad (6)$$

و نسبت بهنجار شده دمای لکه داغ به ۵ کیلو الکترون ولت است، رابطه (۷).

$$T_{hs} = 5\gamma \quad (\text{keV}). \quad (7)$$

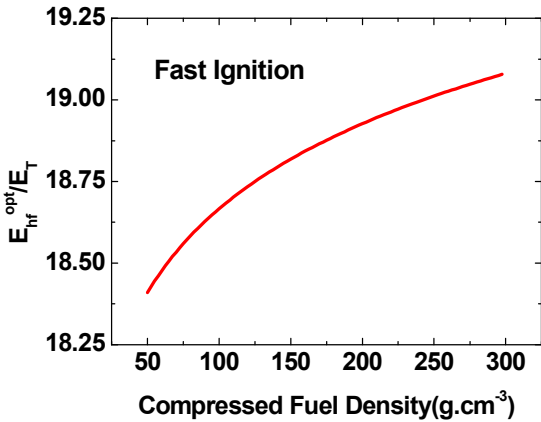
در ساز و کار افروزش شوکی، لکه داغ مرکزی با سوخت سرد و چگال محصور شده است، لذا رابطه (۳) برای انرژی آستانه همجوشی در مدل شوکی نیز برقرار است. به کمک رابطه (۵) و رابطه (۳) بستگی  $\frac{E_{hs}}{E_T}$  به  $\rho_c$  به دست می‌آید.

$$\frac{E_{hs}}{E_T} = 1 / 2835 \times 10^7 (\beta\gamma)^3 \varepsilon^2 \alpha^{-2} \rho_c^{-1/463}. \quad (8)$$

برای روش ترکیبی افروزش سریع-شوکی، فرض تشکیل لکه داغ مؤثر با انرژی  $E_{hfs}$  منجر به نسبت  $E_{hfs}^{opt} / E_T \approx 17 / 0.24 \rho_c^{0.02}$  برای آغاز افروزش سوخت می‌شود. اگر  $\chi_f$  و  $\chi_s$  به ترتیب کسری از حداقل انرژی لازم برای آغاز افروزش سوخت که به تنها برای هر یک از دو روش افروزش سریع و افروزش شوکی به کار می‌رود باشد، در این صورت برای  $E_{if} = E_{if}^{opt} = E_1$ ،  $(\chi_s, \chi_f) \leq 1$  است و ارتباط  $\chi_f$  و  $\chi_s$  با حداقل چگالی سوخت سرد متراکم شده، در مدل ترکیبی به کمک رابطه (۹) به دست می‌آید.

$$\frac{E_{hfs}^{opt}}{E_T} = \frac{\chi_f E_{hf}^{opt} + \chi_s E_{hs}}{E_T} \Big|_{\rho=\rho_c^{\min}} \approx 17 / 0.24 \left( \rho_c^{opt} \right)^{0.02}. \quad (9)$$

در نوشتن رابطه (۹) برای مدل ترکیبی فرض بر آن است که



شکل ۲. رفتار نسبت حداقل انرژی افروزش برای ساز و کار افروزش سریع  $E_{hf}^{opt}$  به انرژی آستانه همجوشی لکه داغ  $E_T$  بر حسب چگالی سوخت متراکم شده، رابطه (۳).

و ایجاد مسیری برای ارسال تپ کوتاه افروزنده سریع از مرتبه ۲۰ پیکوثانیه، و یا نظیر شکل ۱ با استفاده از مخروط طلا، برای تولید لکه داغ کناری از طریق جذب الکترون‌های سریع نسبیتی پدید آمده در سوخت، تا نزدیکی لکه داغ مرکزی هدایت نمود [۳]. محاسبات عددی (۲۰۰۵) اسلازن<sup>۱</sup> نشان داده است که انرژی آستانه<sup>۲</sup>  $E_T$  برای آنکه بهره همجوشی تنها برای لکه داغی که با سوخت متراکم شده با چگالی  $\rho_c$  ( $\text{g.cm}^{-3}$ ) محصور شده است به ۱ برسد ( $G_{HS} = 1$ )، مطابق با رابطه (۳) است [۱۳].

$$E_T = 1 / 5 \left( \frac{\rho_c}{100} \right)^{-1/87} \quad (\text{kJ}) \quad (3)$$

طبق تعریف، انرژی  $E_T$  برای تولید موج سوختن و آغاز افروزش سوخت متراکم شده کافی نمی‌باشد. با تقسیم کردن  $E_{hf}^{opt} = \eta_{hf} E_1 = 140 \hat{\rho}_c^{-1/85}$  بر رابطه (۳) در می‌یابیم که برای  $\rho_c \in (50 - 300) \text{ g.cm}^{-3}$  مقدار انرژی آستانه  $E_T$  به طور متوسط،  $18/77$  مرتبه از حداقل مقدار انرژی لازم برای افروزش سوخت کوچکتر است و بستگی کوچکی به  $\rho_c$  دارد، رابطه

$$\frac{E_{hf}^{opt}}{E_T} \text{ را بر حسب } \rho_c \text{ نشان می‌دهد.} \quad (4)$$

$$\frac{E_{hf}^{opt}}{E_T} \approx 17 / 0.24 \rho_c^{0.02}, \quad (4)$$

۱. Slutz

۲. Break-even energy

۳. Non-isobaric model

محرك‌های لیزری را با حذف  $c$  می‌توان طبق رابطه (۱۴) به دست آورد.

$$(g) M_h = \frac{4\pi}{3} R_h^3 \rho_h = 4/289 \beta^3 \gamma^2 \varepsilon^2 P_c^{-2}, \quad (12)$$

$$(Gbar) P_c = 2/2 \times 10^{-3} \alpha \rho_c^{\frac{5}{3}}, \quad (13)$$

یا جرم کل سوخت برابر است با:

$$E_L = \frac{2560 (\beta \gamma)^3 \varepsilon^2 P_c^{-2}}{\eta_{is}} + \frac{3/7 \alpha^{1/6} P_c^{1/4} M_f - 15/8693 \alpha^{1/6} \beta^3 \gamma^2 \varepsilon^2 P_c^{-1/6}}{\eta_c}. \quad (14)$$

با صفر قرار دادن مشتق پاره‌ای رابطه (۱۴) نسبت به  $P_c$ ، و صرف نظر کردن از جمله سوم در سمت راست رابطه (۱۴) که سبب خطای در حد ۲ درصد برای  $E_L$  به ازای  $\alpha \approx \gamma \approx 2$  و  $\alpha \approx \eta_c \approx \eta_{is}$  می‌شود، رابطه (۱۵) برای فشار بهینه سوخت متراکم شده برای حداقل انرژی کل محرك لیزر به دست می‌آید.

$$(Gbar) P_c^{opt} = 29/825 \alpha^{-1/25} (\beta \gamma)^{1/25} \varepsilon^{1/25} M_f^{-1/4164} \quad (15)$$

با قرار دادن  $P_c^{opt}$  در سمت چپ رابطه (۱۳)، رابطه (۱۶) برای چگالی سوخت متراکم شده  $\rho_c^{opt}$  تحت شرط  $= 0$  به دست می‌آید.

$$\rho_c^{opt} = 301/5 \alpha^{-1/75} (\beta \gamma)^{1/75} \varepsilon^{1/5} M_f^{-1/25} \quad (g.cm^{-3}). \quad (16)$$

برای  $E_{if} > E_{if}^{opt}$  شرط آستانه برای افزایش ترکیبی با رابطه (۱۷) داده می‌شود. در این حالت  $\chi_f$  می‌تواند بزرگتر از یک باشد.

$$\left( \frac{E_{hf}^{opt}}{\eta_{if} E_{if}} \right) \chi_f + \left( \frac{(E_{ho} + (E_{hs} - E_{ho}) \chi_s)}{E_{hs}} \right) \chi_s = 1 \quad (17)$$

انرژی لکه داغ مرکزی است که طی فرآیند فشردن سوخت پدید می‌آید.  $E_{ho}$  به کمک رابطه (۵) و روابط (۳۷) الی (۳۹) برای محاسبه ضرایب  $\beta_0$ ،  $\gamma_0$  و  $\varepsilon_0$  جهت افزایش مرکزی حاصل می‌شود.

رفتار  $\chi_f$  بر حسب  $\chi_s$  مطابق با رابطه (۱۰) و (۱۷) برای  $\rho_c^{opt}$  به ازای ۵ مقدار متفاوت  $M_f$ ، متناظر با مقادیر مدل نا هم فشار جدول ۱ در شکل ۳ نشان داده شده است. ضرایب مدل نا هم فشار را به نحوی تنظیم نموده‌ایم تا رفتار بهره انرژی کل

انرژی الکترون‌های سریع پدید آمده از تپ کوتاه لیزر در مرحله دوم افزایش، صرف گرمایش لکه داغ کناری می‌شود و مطابق با شکل ۱ لکه داغ مرکزی ناشی از افزایش شوکی و لکه کناری جمعاً لکه داغ معادلی را پدید می‌آورند که انرژی آن است. اگر کانال حفر شده به کمک باریکه لیزر در  $E_{hfs}$  پلاسمای چگال و متراکم در مرحله افزایش سریع به قدر کافی عمیق باشد به نحوی که برد الکترون‌های داغ پدید آمده در حدی باشد که دو لکه داغ عملاً در هم ادغام شوند، آنگاه رابطه (۹) تا حد زیادی صحیح است. با قرار دادن مقادیر انرژی در رابطه (۹)، رابطه (۱۰) برای آستانه افزایش ترکیبی با انرژی

$$E_{if} \leq E_{if}^{opt}$$

$$\chi_f + 7/539 \times 10^5 (\beta \gamma)^3 \varepsilon^2 \alpha^{-2} (\rho_c^{opt})^{-1/483} \chi_s = 1. \quad (10)$$

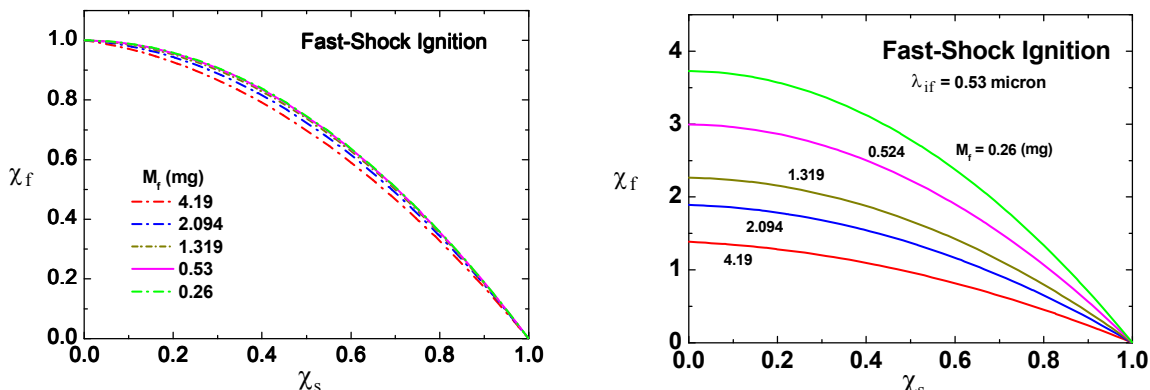
برای یافتن مقادیر مناسب  $\chi_f$  و  $\chi_s$  ضروری است تا  $\rho_c^{opt}$  معلوم باشد. برای یافتن حداقل انرژی محرك لیزر نسبت به فشار سوخت متراکم شده  $E_L$  استفاده می‌کنیم.  $E_L = \frac{E_{hs}}{\eta_{is}} + \frac{E_c}{\eta_c}$  در مدل نا انرژی کل محرك لیزری برای متراکم کردن و افزایش سوخت در مدل نا هم فشار برای افزایش حداقل انرژی محرك لیزری است.  $E_c$  انرژی سوخت سرد متراکم شده و  $\eta_c$  و  $\eta_{is}$  به ترتیب بازدهی جفت شدگی باریکه لیزر با سوخت متراکم شده و لکه داغ است.  $E_{ig} = \frac{E_{hs}}{\eta_h}$  نیز انرژی محرك‌های لیزری برای متراکم کردن و افزایش سوخت می‌باشد. طبق مدل نا هم فشار برای افزایش سوخت شوکی، انرژی لازم برای متراکم کردن جرم  $M_c$  تا چگالی  $\rho_c$ ، و ارتباط چگالی به فشار برای گاز فرمی تبعگن طبق رابطه (۱۱) می‌باشد [۱۷].

$$E_c = 0/22 \alpha M_c \rho_c^{0.66} \quad (kJ), \quad (11)$$

با توجه به روابط (۵) و (۶) برای  $E_{hs}$  و چگالی سطحی لکه داغ و رابطه (۱۲) برای جرم لکه داغ  $M_h$ ، به پارامترهای مدل ناهم فشار، وفرض گاز ایده‌آل برای معادله حالت لکه داغ مرکزی و همچنین بستگی چگالی به  $P_c$  با فرض گاز فرمی برای سوخت متراکم شده که معادله حالت مربوط به آن با رابطه (۱۳) داده می‌شود [۱۴]، رابطه لازم برای بستگی انرژی کل

جدول ۱. پارامترهای به کار رفته برای مدل ناهم فشار جهت افروزش شوکی.

$M_c$ (mg)	۰/۲۶۱	۰/۵۲۳۸	۱/۳۱۵	۲/۰۹۴	۴/۱۹۱
$E_L$ (kJ)	۲۳۰	۳۹۰	۷۲۷	۱۰۷۴	۱۷۰۰
$\alpha$	۲	۲	۱/۹	۱/۸۵	۱/۸
$\beta$	۰/۹۶	۱/۱	۱/۱۴۳	۱/۳۹۱	۱/۷۷
$\gamma$	۱/۰۶	۱/۱۳	۱/۰۵	۱/۱۱۵	۰/۷۷
$\epsilon$	۰/۳۲۶	۰/۲۰۴	۰/۱۶۴	۰/۰۹۵	۰/۰۸۸۵
$\eta_c$	۰/۰۷۶۵	۰/۰۷۷۹	۰/۰۸۲	۰/۰۷۵۹	۰/۰۷۵۰۵
$\eta_{is}$	۰/۰۷۲	۰/۰۶۵۵	۰/۰۶۰۵	۰/۰۵۸۹	۰/۰۶۹
$\rho_c^{\min}$ ( $g.cm^{-3}$ )	۸۲۸	۶۵۸	۴۹۰	۴۰۶	۲۹۲
$V_{imp}$ ( $\times 10^7 cm/s$ )	۲/۸	۲/۶	۲/۲	۲/۲	۱/۹
$\frac{E_{is}}{E_L}$	پژوهش حاضر	۰/۱۶۶	۰/۱۶۶	۰/۱۶۶	۰/۱۶۶
	[۱۵] مرجع	۰/۱۸	۰/۱۹	۰/۲۱	۰/۱۳
$\rho R$ ( $g.cm^{-3}$ )	پژوهش حاضر	۲/۵۸	۳	۳/۵	۳/۸۷
	[۱۵] مرجع	۲/۴	۲/۹	۳/۴	۴
$G_{opt}$	پژوهش حاضر	۱۰۲	۱۳۶	۲۰۲	۲۲۲
	[۱۵] مرجع	۱۰۱	۱۴۳	۲۱۰	۲۴۳
					۳۰۲
					۳۰۹



شکل ۳. بستگی سهم هر یک از دو محرك افروزش سریع  $\chi_f$  و افروزش شوکی  $\chi_s$  در روش افروزش ترکیبی به جرم سوخت به ترتیب از چپ به راست: (الف)  $E_{if} \leq E_1$  ، (ب)  $E_{if} \leq E_2$  . در این حالت  $\lambda_{if} = ۰/۵۳ \mu m$  است.

$$G_T = \frac{E_F}{E_L} = G_T^{\max} / (1 + E_{ig} / E_{cd}) . \quad (18)$$

در رابطه (۱۸)، بهره بیشینه هدف  $G_T^{\max}$  و

انرژی کل محركهای لیزری است.

انرژی سوخت و  $\theta(\rho R)$  کسری از سوخت است که می‌سوزد.  $q_f = ۳۳۵$  (MJ/mg) مقدار انرژی

هدف بر حسب انرژی محرك لیزر کمترین تفاوت را با مقادیر حاصل از محاسبات عددی مرجع [۱۵] داشته باشد، شکل ۴.

۳. محاسبه بهره انرژی برای ساز و کار افروزش ترکیبی  
تعریف عمومی بهره هدف  $G_T$ ، مستقل از چگونگی ساز و کار افروزش سوخت با رابطه (۱۸) داده می‌شود.

$E_L \approx E_{cd}$  و  $G_T \approx \eta_c G_F$  است، در این صورت:  $G_T \approx \eta_c G_F$ . با

استفاده از تعریف  $G_s^{\max} = \frac{E_F}{E_{cd}}$  برای حداکثر بهره هدف ساز و کار افروزش شوکی، رابطه (۱۶) برای  $\rho_c^{opt}$ ، و محاسبه  $\rho R = \beta + (R_c - R_{hs})\rho_c^{opt}$  به کمک روابط موجود برای مدل ناهم فشار [۱۲]، ابتدا  $(\rho R)^{\theta}$  و سپس رابطه (۲۳) برای حداکثر بهره هدف برای ساز و کار افروزش شوکی به دست می آید.  $R_c$  شعاع سوخت متراکم شده است.

$$G_s^{\max} = 3384 / 9 (\beta \gamma)^{-1/25} M_c^{1/25} \alpha^{-1/75} \varepsilon^{-1/25} \quad (23)$$

رابطه (۲۴) از رابطه ارائه شده در مرجع [۲] برای  $G_f^{\max}$  حداکثر بهره هدف ساز و کار افروزش سریع به دست آمده است و حداکثر بهره را تحت شرط  $E_{if} > E_{if}^{opt}$ ، برای ساز و کار افروزش سریع به صورت تابعی از طول موج لیزر افروزنده سریع  $\lambda_{if}$  به صورت  $E_{if}(\lambda_{if})$  نشان می دهد.

$$G_f^{\max} = A \eta_c^{1/6} \eta_{if}^{1/6} \left( \frac{\beta_f}{2} \right)^{1/6} \left( \frac{E_{cd} + E_{if}}{\alpha^2} \right)^{1/8} \times (E_{cd} + E_{if})^{\beta_f/6} \left( \frac{\beta_f}{2} \right)^{1/6}, \quad (24)$$

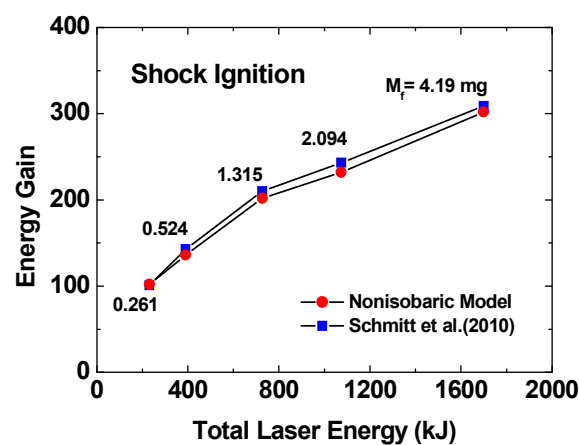
ضرایب  $A$  و  $\beta_f$  به ترتیب ۲۱۰۰۰ و ۱ برای بهترین تطبیق نتایج حاصل از رابطه (۲۴) با محاسبات مرجع [۶] برای بهره ساز و کار افروزش سریع به ازای  $0.25 \mu m$  انتخاب شدند.  $\alpha$  و  $\eta_c$  مطابق با مقادیر جدول ۱ می باشند. روابط (۲۳) و (۲۴) را جهت محاسبه مزیت روش افروزش ترکیبی مورد استفاده قرار می دهیم.  $G_{fs}^{\max}$  یا حداکثر بهره هدف در ساز و کار افروزش ترکیبی را با توجه به رابطه عمومی (۱۸)، طبق رابطه (۲۵) تعریف می کنیم.

$$G_{fs}^{\max} = \eta_c E_F^{fs} / E_c. \quad (25)$$

بهره انرژی برای مدل افروزش ترکیبی،  $G_{fs}$ ، نیز طبق رابطه (۲۶). نظری، بهره انرژی برای افروزش سریع و افروزش شوکی تعریف می شود.

$$G_{fs} = G_{fs}^{\max} / (1 + E_{if}^{fs} / E_{cd}), \quad (26)$$

تابعی از طول موج باریکه های لیزر و انرژی باریکه متراکم کننده لیزر  $E_{cd}$  است.  $E_{if}^{fs}$  یا انرژی لکه داغ در ساز و کار افروزش سریع-شوکی طبق رابطه (۲۷) برابر



شکل ۴. نتایج حاصل از مدل ناهم فشار متناظر با مقادیر مذکور در جدول ۱ و مقایسه آن با محاسبات عددی اشمیت [۱۵] برای بستگی بهره انرژی کل محرک لیزری برای افروزش شوکی، به ازای مقدار متفاوت جرم سوخت متراکم شده از ۰/۲۶۱ تا ۴/۱۹ میلی گرم.

آزاد شده بر واحد جرم به ازای سوختن مخلوط ۵۰:۵۰ سوخت D-T در طی واکنش همچو شی  $D + T \rightarrow n + ^4 He + 17/6 MeV$  می باشد. برای همچو شی دتریوم-تریتیوم است [۵].

جفت شدگی میانگین باریکه لیزر با سوخت،  $\eta$ ، را مطابق با مرجع [۲] تعریف می کنیم.

$$\eta E_L = E_c + E_h \quad (19)$$

با توجه به رابطه (۱۹) و تعریف ضرایب جفت شدگی باریکه های متراکم کننده  $\eta_c$  و افروزنده  $\eta_{ig}$ ، می توان جفت شدگی میانگین و بهره سوخت را به صورت زیر نوشت.

$$\eta = \eta_c \frac{E_{cd}}{E_L} + \eta_{ig} \frac{E_{ig}}{E_L} \quad (20)$$

در این صورت بهره هدف بر حسب بهره سوخت،  $G_F$ ، مطابق با رابطه (۲۱) و (۲۲) می باشد.

$$G_F = \frac{E_F}{E_c + E_h} = \frac{(E_F/E_c)}{1 + \frac{E_h}{E_c}} = \frac{G_F^{\max}}{1 + \frac{E_h}{E_c}}, \quad (21)$$

$$G_T = \eta \frac{E_F}{E_L + E_h} = \eta G_F. \quad (22)$$

با توجه به رابطه (۲۰)، در صورتی که  $E_{ig} \gg E_L$  باشد،

$$\theta_{fs} = \frac{\int_{\rho_c}^{R_c} \rho dr}{\int_{\rho_{hs}'}^{R_c} \rho dr}, \quad (32)$$

$$\int_{\rho_c}^{R_c} \rho dr = \int_{\rho_{hs}'}^{R_c} \rho_c dr + \int_{\rho_{hs}'}^{R_{hs}'} \rho'_{hs} dr + \int_{\rho_{hs}'}^{R_{hf}'} \rho_c dr \quad (33)$$

کمیت‌های  $R'_{hf}$  و  $R'_{hs}$  به ترتیب متناظر با شعاع لکه‌های داغ ساز و کارهای سریع و شوکی و چگالی لکه داغ به ازای انرژی  $\chi_f E_{hs}$  و  $\chi_s E_{hf}$  می‌باشد.

با توجه به رابطه (۱) مشاهده می‌شود که برای  $E_{if} = E_1$  داریم:

$$E_{hf}^{opt} \chi_f = 140 \left( \frac{\chi_f^{\frac{1}{185}} \rho_c}{100} \right)^{-1/185} = 140 \left( \frac{\chi_f^{-0.54} \rho_c}{100} \right)^{-1/185}$$

کاسته شدن از سهم انرژی محرک سریع هم ارز است با  $\rho_c \rightarrow \rho'_c = \chi_f^{-0.54} \rho_c$ . با استفاده از تبدیل اخیر و رابطه (۲)، بستگی  $R'_{hf}$  به صورت زیر می‌باشد.

$$R'_{hf} = 0.52258 \left( \chi_f^{-0.54} \rho_c \right)^{-0.97} = 0.52258 \chi_f^{-0.5243} \rho_c^{-0.97} \\ = \chi_f^{-0.5243} R_{hf}, \quad (34)$$

نقش ساز و کار افروزش سریع در  $\int \rho d$  طبق رابطه (۳۵) به دست می‌آید.

$$\int_{\rho_c}^{R'_{hf}} \rho_c dr = \chi_f^{-0.5243} \rho_c R_{hf}. \quad (35)$$

برای محاسبه سهم لکه داغ مربوط به ساز و کار شوکی روش، کاملاً متفاوت است زیرا در حین متراکم شدن سوخت لکه داغ مرکزی همواره پدید می‌آید اما انرژی و سایر ویژگی‌های آن به چگونگی متراکم کردن سوخت وابسته است. برای سوخت DT،  $\rho_h R_h < 2/5 \text{ keV}$  و  $T_h < 2/4 \text{ g cm}^{-3}$  متناظر با  $\beta < 1$  و  $\gamma > 5/4$  اشتعال چندانی از طریق افروزش مرکزی سوخت صورت نمی‌گیرد زیرا دمای لکه داغ کمتر از آن است تا خود گرمایش از طریق تولید و جذب ذرات آلفا به نحو مؤثر انجام شود. بنابراین بستگی  $\rho'_{hs} R'_{hs} = 4\beta'$  به  $\chi_s$  را می‌توان با

با مجموع انرژی جذب شده دو ساز و کار برای تشکیل لکه داغ است.

$$E_{hsf} = \chi_s E_{hs} + \chi_f E_{hf} = \chi_s \eta_{is} E_{is} + \chi_f \eta_{if} E_{if} \quad (27)$$

و  $E_{if}$  به ترتیب انرژی محرک افروزش شوکی و سریع می‌باشند. به کمک رابطه (۲۶) و (۲۷) نتیجه زیر برای  $G_{fs}$  به دست می‌آید.

$$G_{fs} = \frac{G_{fs}^{\max}}{1 + \frac{\chi_s E_{is}}{E_{cd}} + \frac{\chi_f E_{if}}{E_{cd}}} = \frac{G_{fs}^{\max}}{1 + \frac{\chi_s E_{hs}}{E_c} \frac{\eta_c}{\eta_{is}} + \frac{\chi_f E_{hf}}{E_c} \frac{\eta_c}{\eta_{if}}} \quad (28)$$

$G_{fs}^{\max}$  با توجه به رابطه (۲۵) برابر است با  $G_{fs}^{\max} = \eta_c q_f M_f \theta_{fs} / E_c$  یا ضریب جفت شدگی میانگین باریکه لیزر با هدف نیز نظری رابطه (۱۹) نسبت مجموع انرژی سوخت متراکم شده و انرژی لکه‌های داغ به انرژی کل محرک‌های لیزری طبق رابطه (۲۹) است.

$$\eta_{fs} = \frac{E_c + \chi_s E_{hs} + \chi_f E_{hf}}{E_L}, \quad (29)$$

انرژی کل محرک‌های لیزری نیز با توجه به ضرایب جفت شدگی طبق رابطه (۳۰) قابل محاسبه است.

$$E_L = \frac{E_c}{\eta_c} + \chi_s \frac{E_{hs}}{\eta_{is}} + \chi_f \frac{E_{hf}}{\eta_{if}}, \quad (30)$$

با ترکیب کردن روابط (۲۹) و (۳۰) نتیجه زیر برای  $\eta_{fs}$  به دست می‌آید.

$$\eta_{fs} = \eta_c + \chi_s \frac{E_{hs}}{E_L} (1 - \frac{\eta_c}{\eta_{is}}) + \chi_f \frac{E_{hf}}{E_L} (1 - \frac{\eta_c}{\eta_{if}}). \quad (31)$$

با توجه به رابطه (۳۱)، تقریب  $\eta_{fs} \approx \eta_c$  برای  $E_L > (E_{if}, E_{is})$  برقرار است. برای  $\chi_s = 0$  و  $\chi_f = 0$  رابطه (۳۱) به ترتیب به بازدهی افروزش سریع و شوکی کاهش می‌یابد که نتیجه صحیحی است.

در ساز و کار افروزش ترکیبی لازم است محاسبه بازدهی سوختن،  $\theta_{fs}$ ، با انتگرال گیری چگالی بر روی تمام اجزای سوخت از جمله لکه داغ ناشی از الکترون‌های سریع حاصل از باریکه پر توان کاتونی شده لیزر طبق رابطه (۳۲) و رابطه (۳۳) صورت گیرد.

جدول ۲. مقادیر محاسبه شده برآورد بستگی پارامترهای مدل ناهم فشار به  $\chi_s$ .

$M_c$ (mg)	۰/۲۶۱	۰/۵۲۳۸	۱/۳۱۵	۲/۰۹۴	۴/۱۹۱
$\beta_o$	۰/۶۰۵	۰/۶۶۶	۰/۷۳۱	۰/۸۲۴	۰/۸۶۴
$\gamma_o$	۰/۵۱۲	۰/۴۸۵	۰/۴۱۴	۰/۴۲۷	۰/۳۶۸
$\varepsilon_o$	۰/۱۸۹	۰/۲۱۳	۰/۲۸	۰/۲۸	۰/۳۵۴

$$P_{hs} \approx \frac{۳۴۵}{\alpha^{۰/۹}} \left( \frac{V_{imp}}{۳ \times ۱۰^۷} \right)^{۱/۸۵}. \quad (۴۰)$$

$$\text{و } \beta_o = \frac{P_{co}}{P_{hs}}, \gamma_o = \frac{\rho R_{hs}}{۰/۴}, \text{ با استفاده از مقادیر}$$

ارائه شده در جدول ۱ برای انرژی کل محرک لیزری  $E_L$

$$\text{همچنین } \frac{E_{is}}{E_L} \text{ و } V_{imp} \text{ در روابط (۳۷) الی (۴۰)، و رابطه}$$

$$(۱۵) \text{ برای } P_c \text{ به ازای } \rho_{av} = \rho_c = ۰/۲۴۸ \mu m \text{ و } \lambda_c = ۰/۲۴۸ \text{ به}$$

دست می آیند، جدول ۲. با توجه به رابطه

$$R'_{hs} = ۷۲۷ \varepsilon' \beta' \gamma' \alpha^{-1} \rho_c^{-\frac{۵}{۲}}. \quad (۳۶)$$

ضریب  $\alpha$  و چگالی سوخت متراکم شده،  $\rho_c$ ، به مرحله قبل

از افروزش مربوط می شود و مستقل از چگونگی افروزش

سوخت است و به  $\chi_s$  بستگی ندارند.

تحلیل های مرجع [۲۰] بر پایه مدل هم فشار و محاسبات عددی برای تحریک مستقیم سوخت<sup>۱</sup> در محدوده گسترده ای از

انرژی محرک متراکم کننده لیزر ( $E_{cd} \in (۲۵, ۲۵۰۰) \text{ kJ}$ )

سريع متراکم شدن پوسته سوخت (۳۷) تا (۴۰) به ترتیب برای میانگین چگالی سوخت، دما، چگالی

سطحی و فشار لکه داغ منجر شده است.

$$R'_c \approx R'_{hs}^{\frac{۳}{۴}} + \frac{۳}{۴\pi} \frac{M_f}{\rho_c} \quad (۴۲)$$

محاسبات مرجع [۴] نشان می دهند که برای

افروزش سریع تنها برای  $E_{if} = E_{if}^{opt} < ۱۰۰ \text{ kJ}$

میسر است. برای  $E_{if} > E_{if}^{opt}$   $R_{hf} \approx ۱۰ \mu m$

را برای  $R_{hf} = ۱۰ \mu m$ ، متناظر با بیشترین بهره برای مقادیر

کوچک انرژی کل محرک های لیزری (کمتر از ۵۰۰ کیلوژول)،

انجام دادیم. نقش عدم تقارن و کرویت لکه داغ ترکیب شده از

تقریب خطی از حالت آستانه افروزش مرکزی  $\chi_s = ۰$  تا

افروزش شوکی  $\chi_s = ۱$  به ترتیب متناظر با  $\beta' = \beta_o$

$\beta' = \beta_o + (\beta - \beta_o) \chi_s$  نشان داد. به طور

مشابه برای دمای لکه داغ  $T_{hs} = ۵\gamma' (\text{keV})$  و نسبت فشار

سوخت متراکم شده به فشار لکه داغ نیز به ترتیب تقریب

$\varepsilon' = \varepsilon_o + (\varepsilon - \varepsilon_o) \chi_s$  و  $\gamma' = \gamma_o + (\gamma - \gamma_o) \chi_s$  را مورد

استفاده قرار می دهیم. در این صورت بستگی شعاع لکه داغ

مرکزی با رابطه (۳۶) داده می شود.

$$R'_{hs} = ۷۲۷ \varepsilon' \beta' \gamma' \alpha^{-1} \rho_c^{-\frac{۵}{۲}}. \quad (۳۶)$$

ضریب  $\alpha$  و چگالی سوخت متراکم شده،  $\rho_c$ ، به مرحله قبل

از افروزش مربوط می شود و مستقل از چگونگی افروزش

سوخت است و به  $\chi_s$  بستگی ندارند.

تحلیل های مرجع [۲۰] بر پایه مدل هم فشار و محاسبات

عددی برای تحریک مستقیم سوخت<sup>۱</sup> در محدوده گسترده ای از

انرژی محرک متراکم کننده لیزر ( $E_{cd} \in (۲۵, ۲۵۰۰) \text{ kJ}$ )

سريع متراکم شدن پوسته سوخت (۳۷) تا (۴۰) به ترتیب برای میانگین چگالی سوخت، دما، چگالی

سطحی و فشار لکه داغ منجر شده است.

$$\rho_{av} = \frac{۴۲۵}{\alpha^{۰/۱۲}} I_{۱۵}^{۰/۱۳} \left( \frac{V_{imp}}{۳ \times ۱۰^۷} \right) \left( \frac{۰/۲۵}{\lambda_c} \right)^{۰/۱۳} \quad (۳۷)$$

$$T_{hs} \approx \frac{۳}{\alpha^{۰/۱۵}} \left( \frac{E_L - E_{is}}{۱۰۰} \right)^{۰/۰۷} \left( \frac{V_{imp}}{۳ \times ۱۰^۷} \right)^{۱/۲۵}, \quad (۳۸)$$

$$\rho R_{hs} \approx \frac{۰/۳۱}{\alpha^{۰/۵۵}} \left( \frac{E_L - E_{is}}{۱۰۰} \right)^{۰/۰۷} \left( \frac{V_{imp}}{۳ \times ۱۰^۷} \right)^{۰/۶۲}, \quad (۳۹)$$

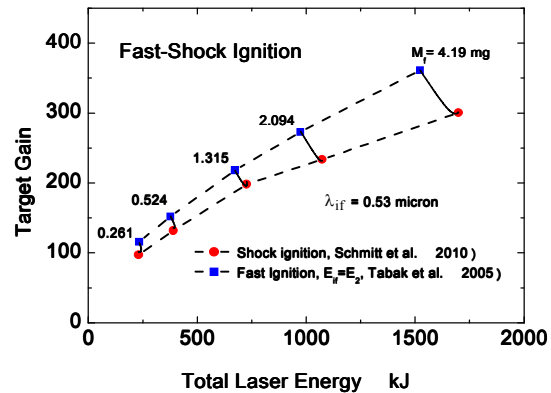
۱. Direct-drive

$$\int_{R_c}^{\infty} \rho dr = \rho_c (R'_c - R'_{hs} - C_f \chi_f^\delta R_{hf}) + \dots / 4\beta' + \chi_f^\delta \rho_c R_{hf}. \quad (43)$$

#### ۴. نتایج حاصل از مدل تحلیلی

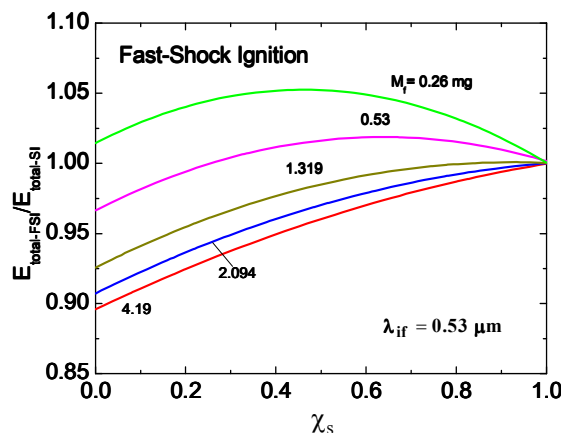
جهت ارزیابی مدل ارائه شده در بخش ۲ و ۳، نتایج حاصل از محاسبات عددی کد هیدرودینامیکی یک بعدی مرجع [۱۵] برای افروزش شوکی مورد استفاده قرار گرفت. برای این منظور پارامترهای ۵ نقطه محاسباتی مرجع مذکور مورد توجه قرار گرفتند. جرم سوخت متراکم شده،  $M_c$ ، و انرژی کل محرک لیزری،  $E_L$ ، به عنوان معلومات اولیه برای تنظیم ۳ پارامتر:  $\beta$ ،  $\alpha$  و  $\epsilon$  مدل ناهم فشار به نحوی مورد استفاده قرار گرفتند تا با حفظ مقادیر  $\alpha$  و نسبت انرژی افروزنده به انرژی کل محرک لیزر  $E_{ls}/E_L$ ، کمترین اختلاف با نتایج محاسبات عددی افروزش سریع-شوکی باشد. مطالعه مراجع [۱۵] به دست آید و نسبت  $E_{hf}^{opt}/E_T$  برای  $E_{if}$  مطابق با شکل ۳ در حد  $19/2$  باقی بمانند. تنظیم مدل برای دستیابی به مقادیر مورد نظر برای  $\rho R$  و بهره انرژی با استفاده از تغییر  $\beta$  و نسبت فشار سوخت متراکم شده به فشار لکه داغ یا همان  $\epsilon$  صورت گرفته است. در جدول ۱ نتایج به دست آمده به همراه مقادیر ارائه شده در مرجع [۱۵] آورده شده است. اختلاف میان محاسبات عددی و مدل تحلیلی حاصل از روابط (۱۸) و (۲۳) برای بهره انرژی در حد ۵ درصد است. شکل ۴ رفتار بهره انرژی را بر حسب انرژی کل محرک لیزری، برای محاسبات مرجع [۱۵] و مدل ناهم فشار نشان می‌دهد.

حاصل محاسبات بخش ۳ برای بهره روش ترکیبی در شکل ۵ به صورت بهره انرژی کل محرک‌های لیزری ترسیم شده است. برای انجام محاسبات مذکور  $\eta_{if} = 0.25$  متناظر با جفت شدگی الکترون‌های سریع پدید آمده با طیف انرژی  $1/5$  تا  $5$  مگا الکترون ولت ناشی از محرک سریع کوتاه لیزری در نظر گرفته شده است که مطابق با میانگین مقدار مورد انتظار برای  $\eta_{if}$  در مراجع [۱۱-۹] می‌باشد. در شکل ۵ محدوده محصور میان مرز روش افروزش سریع و

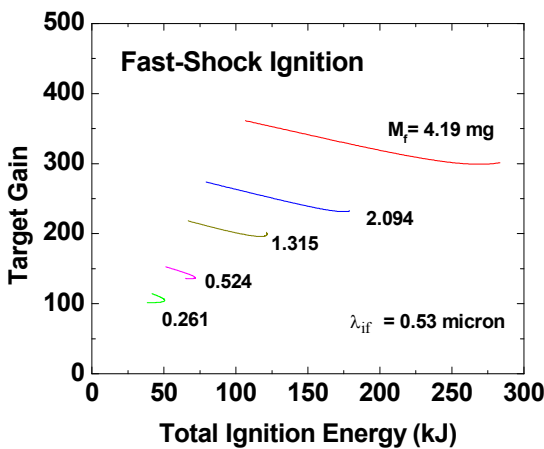


شکل ۵. بستگی بهره هدف به انرژی کل محرک‌های لیزری. طول موج لیزر متراکم کننده سوخت  $0.248 \mu\text{m}$  و طول موج لیزر محرک سریع  $0.53 \mu\text{m}$  است. برای افروزش شوکی از محاسبات عددی اشمیت استفاده شده است [۱۵]. بهبود مؤثر بهره انرژی برای روش افروزش سریع-شوکی در مقایسه با روش افروزش شوکی برای  $E_{if} \leq E_L$  با افزایش انرژی محرک و جرم سوخت به خوبی مشاهده می‌شود. روش افروزش سریع-شوکی به سطح میان دو نمودار افروزش سریع-شوکی با خطوط ممتد میان دو نمودار افروزش سریع و افروزش شوکی نشان داده شده است.

لکه مربوط به محرک سریع و لکه داغ مرکزی می‌تواند به صورت  $R'_c - R'_{hs} - C_f \chi_f^\delta R_{hf}$  در رابطه (۴۱) منظور شود. اندازه ضرایب تصحیحی  $C_f$  وابسته به طول موج محرک سریع  $\sim |C_f(\lambda_{if})|$  است. مقادیر دقیق  $C_f$  برای سازگاری با نمودارهای بهره مرجع [۷] به ازای  $\chi_f = 1$  به دقت تنظیم شده است. برای  $E_{if} > E_{if}^{opt}$  شرط  $E_{if} = E_L$  برقرار است و مقدار  $\delta$  در معادله (۴۳) لزوماً برابر با  $0.5243$  نیست. اگر قرار دهیم  $E_{if}' = \chi_f E_L$  و از عبارت مربوط به  $E_{if}$  استفاده کنیم، در این صورت  $E_{if}' \propto \chi_f \rho_c^{-0.9} = (\chi_f^{-1/11} \rho_c)^{-0.9}$  است که معادل است با  $\rho_c' = \chi_f^{-1/11} \rho_c$ ، در این صورت شعاع بهینه لکه داغ مطابق با رابطه (۲) برابر است با  $R'_{hf} = 0.5258 (\chi_f^{-1/11} \rho_c)^{0.97} = \chi_f^{0.97} R_{hf}$   $= \chi_f^\delta R_{hf} \approx \chi_f R_{hf}$ ، بنابراین برای  $E_{if} > E_{if}^{opt}$  مقدار  $\delta$  عملاً برابر با ۱ است.

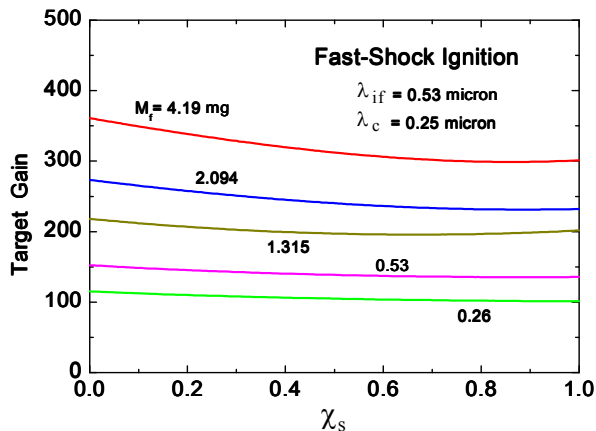


شکل ۷. بستگی نسبت انرژی کل محرک‌های لیزری به مقادیر متناظر برای افروزش شوکی بر حسب سهم محرک شوکی  $\chi_s$  در روش افروزش سریع-شوکی به جرم سوخت. نمودارها نشان می‌دهند که با کاهش  $\chi_s$  و افزایش جرم سوخت، انرژی کل مورد نیاز برای روش ترکیبی در مقایسه با افروزش شوکی در محدوده حدود ۵ درصد کاهش می‌یابد.

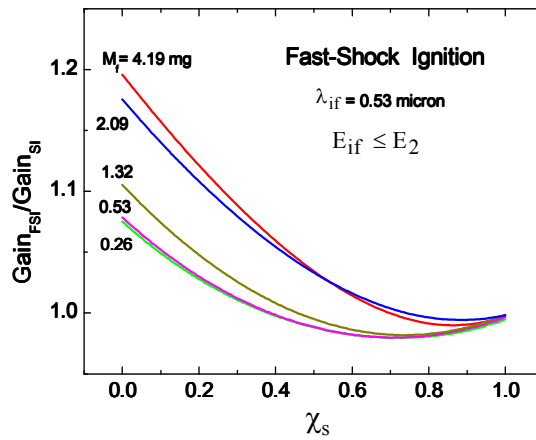


شکل ۸. رفتار بهره انرژی برای روش افروزش سریع-شوکی به ازای مقادیر گوناگون جرم سوخت. به ترتیب از چپ به راست: بهره بهنجار شده ساز وکار ترکیبی به بهره افروزش شوکی بر حسب سهم محرک شوکی  $\chi_s$ ، و بهره بر حسب انرژی کل افروزش. بهره افروزش شوکی از محاسبات مرجع [۱۵] گرفته شده است.

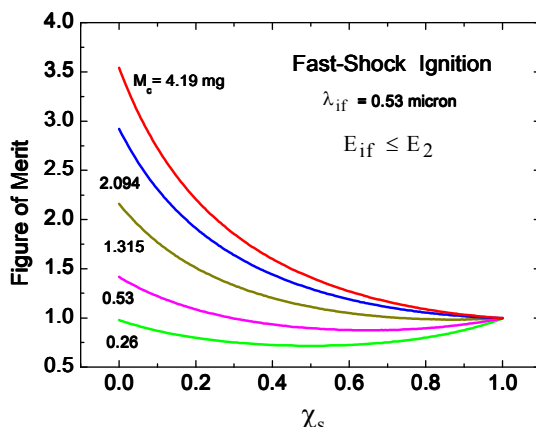
روش افروزش شوکی به خوبی مشاهده می‌شود. انرژی کل مورد نیاز و بهره انرژی بهنجار شده به مقادیر متناظر برای روش افروزش شوکی بر حسب نقش محرک شوکی  $\chi_s$  و انرژی کل افروزندها برای روش ترکیبی در دو شکل ۷ و ۸ ترسیم شده است. نمودارها نشان می‌دهند که با کاهش  $\chi_s$  و افزایش جرم سوخت بهره انرژی از ۱۰ تا ۱۵ درصد افزایش می‌یابد. این رفتار با توجه به نمودارهای شکل ۳ ناشی از افزایش سهم



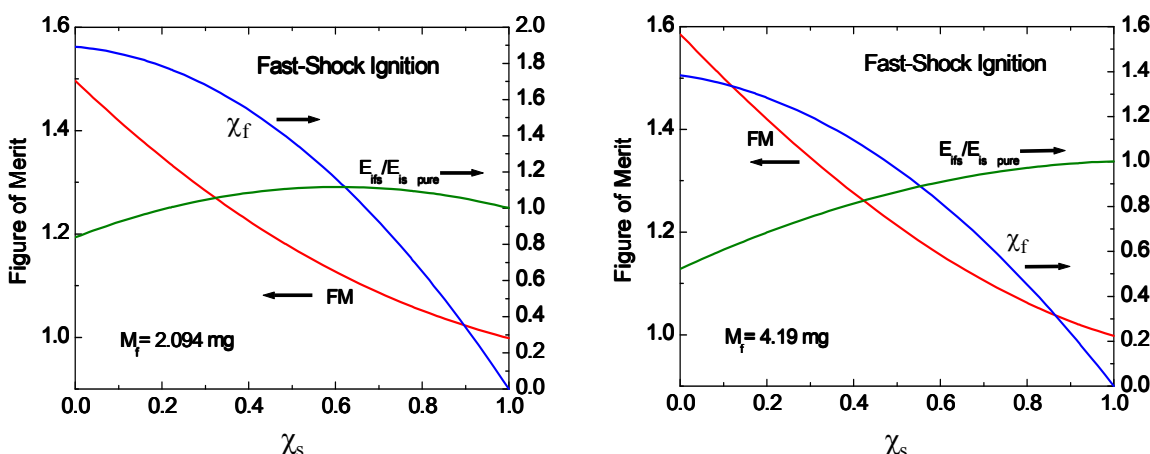
شکل ۶. رفتار بهره هدف به سهم ساز وکار افروزش شوکی  $\chi_s$  برای افروزش سریع-شوکی و  $E_{if} > E_{if}^{opt}$  به ازای مقادیر گوناگون جرم سوخت. در تمام حالات، طول موج محرک سریع،  $\lambda_{if} = 0.53 \mu m$  است و طول موج محرک متراکم کننده،  $\lambda_c = 0.25 \mu m$  است.



افروزش شوکی، حوزه افروزش ترکیبی را نشان می‌دهد. مکان هندسی متناظر با ۵ مقدار جرم سوخت مشابه با جرم مورد استفاده در محاسبات مرجع [۱۵] نیز در شکل ۵ آورده شده است. بستگی بهره به انرژی کل محرک‌های افروزنده و جرم سوخت در شکل ۶ آمده است. برای  $E_{if} > E_{if}^{opt}$ ،  $\lambda_{if} = 0.53 \mu m$  و  $M_f > 2 mg$  افروزش ترکیبی در حد ۱۵ درصد برای  $\chi_s \sim 0.3$  در مقایسه با



شکل ۹. بستگی مزیت روش افروزش سریع-شوکی نسبت به روش افروزش شوکی بر حسب نقش محرك شوکی  $\chi$  به ازای مقادیر گوناگون جرم سوخت.



شکل ۱۰. رفتار نمایه مزیت و سهم محرك‌های سریع و شوکی به ازای دو هدف با جرم سوخت  $4/19$  و  $2/094$  میلی‌گرم برای روش افروزش سریع-شوکی. برای  $\chi_f = 1$  به ترتیب برای دو جرم مذکور در حد  $20$  و  $15$  درصد مزیت کلی به دست می‌آید. با افزایش  $\chi_f$  تا  $1/2$  برای  $M_f = 4/19 \text{ mg}$  نمایه مزیت تا بیش از  $1/3$  افزایش می‌یابد.

کوچک  $\chi$  و بیشترین مزیت را برای  $\chi_s = 0$  متناظر با روش افروزش سریع برای  $E_{if} = E_2$  برآورد می‌کند، شکل ۹. با افزایش جرم سوخت مزیت، روش ترکیبی فزونی می‌گیرد. برای دو هدف با جرم  $4/19$  و  $2/094$  میلی‌گرم و  $\chi_f = 1$ ، به ترتیب  $23$  و  $10$  درصد مزیت کلی به دست می‌آید. با کاستن از سهم محرك شوکی تا  $1/7$ ، مزیت به ترتیب  $12$  و  $6$  درصد می‌باشد، شکل ۱۰. با  $10$  و  $20$  درصد افزایش سهم محرك سریع،  $\chi_f = 1/1$  و  $1/2$ ، نمایه مزیت برای دو جرم اشاره شده به ترتیب  $(27, 12)$  و  $(35, 13)$  درصد ارتقاء می‌یابد. برای  $M_f < 2 \text{ mg}$  روش ترکیبی مزیت چندانی نسبت به

افروزش سریع  $\chi$ ، و سوق روش ترکیبی به سوی ساز و کار افروزش سریع است که دارای بهره انرژی بیشتری است. جهت ارزیابی بهتر نمایه مزیت<sup>۱</sup>،  $FM$  را به صورت حاصل ضرب نسبت بهره هدف در نسبت انرژی کل برای اجرای دو روش افروزش ترکیبی و شوکی تعریف و مورد استفاده قرار می‌دهیم، رابطه (۴۴).

$$, FM = \frac{G_{fs}}{G_s} \times \frac{E_{s\_total}}{E_{fs\_total}} \times \frac{E_{is\_pure}}{E_{ifs}} \quad (44)$$

نمایه مزیت، برتری روش افروزش ترکیبی را برای مقادیر

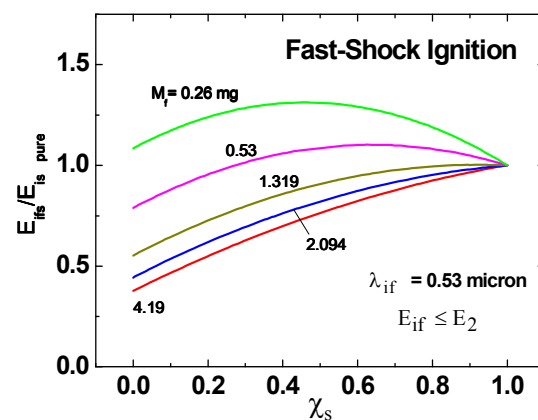
<sup>۱</sup>. Figure of merit

شده برای محرک افروزنده شوکی در روش ترکیبی کمتر از افروزش شوکی است، پیش بینی می شود که احتمال بروز و رشد ناپایداری ها نسبت به افروزش شوکی کمتر و از این منظر روش ترکیبی برتری نسبی داشته باشد.

### ۵. نتیجه گیری

روش های پیشرفته همجوشی لیزری نظیر افروزش سریع و به ویژه افروزش شوکی، گام های بلندی در جهت تحقق همجوشی محصورسازی اینرسی به شمار می آیند. افروزش شوکی از دیدگاه فناوری لیزر، ساخت هدف و همچنین اجرا، ساده تر از افروزش سریع به نظر می رسد. اما کاستن از انرژی محرک های لیزری و افزایش بهره انرژی همچنان از اهمیت قابل ملاحظه ای برای ساخت محرک های لیزری جهت احداث نیروگاه های همجوشی هسته ای برخوردار است.

پژوهش حاضر برای نخستین بار نشان می دهد که روش افروزش ترکیبی مشکل از هر دو ساز و کار افروزش سریع و افروزش شوکی می تواند به نحو مؤثری در راستای کاستن از انرژی کل محرک های افروزنده لیزری برای دستیابی به بهره انرژی از مرتبه  $10^0$  و بیشتر مورد استفاده قرار گیرد. تحلیل کامل و دقیق ساز و کار ترکیبی نیازمند انجام محاسبات هیدرودینامیکی و ذره ای است. با این حال استفاده مناسب از محاسبات عددی موجود برای افروزش سریع و مدل ناهم فشار برای افروزش شوکی به همراه محاسبات مربوط به انرژی آستانه همجوشی لکه داغ محصور شده درون سوخت متراکم، امکان برآورده مزایای روش افروزش ترکیبی را از طریق یک مدل تحلیلی فراهم می آورد. نتایج مدل تحلیلی برای روش ترکیبی نشان می دهد که تنها با استفاده از حدود  $70$  درصد انرژی محرک لیزری برای صرف افروزش شوکی، مزیت قابل توجهی برای اشتغال سوخت متراکم شده به دست می آید. تحت شرایط مناسب و برای  $M_f > 2 \text{ mg}$  مجموع انرژی افروزنده های شوکی و سریع برای ساز و کار ترکیبی می تواند کمتر از  $80$  درصد انرژی محرک افروزنده برای ساز و کار افروزش شوکی باشد. به نظر می رسد که مدل تحلیلی ارائه شده، ویژگی های عمومی



شکل ۱۱. رفتار نسبت انرژی افروزنده ها برای افروزش سریع - شوکی به افروزش صرفاً شوکی،  $\frac{E_{is}^{if}}{E_{is}^{pure}}$ ، بر حسب سهم انرژی محرک شوکی،  $\chi$ ، به ازای مقادیر گوناگون جرم سوخت متراکم شده.

افروزش شوکی از خود نشان نمی دهد. برای  $\chi_s \in (0/4, 0/7)$  که محدوده مناسب برای اجرای روش ترکیبی به شمار می آید، روش افروزش سریع - شوکی مزیت کلی  $20$  تا  $30$  درصدی برای  $M_f > 2 \text{ mg}$  نسبت به افروزش شوکی از خود نشان می دهد. نسبت انرژی افروزنده کل برای روش ترکیبی به انرژی افروزنده صرفاً شوکی،  $E_{is}^{pure}$ ، در شکل ۱۱ نشان داده شده است که مزیت روش ترکیبی را در محدوده جرم  $M_f > 2 \text{ mg}$  و  $\chi \in (4/0, 7/0)$  تایید می کند.

به نظر می رسد که ترتیب زمانی میان لحظه اعمال تپ های افروزش شوکی و سریع به شرط آنکه تأخیر زمانی میان آغاز دو ساز و کار کوچکتر از  $\frac{R_h}{4C_s} \sim$  یا زمان لازم برای انتشار امواج اکوستیکی از میان لکه داغ باشد<sup>۱</sup>، نقش اصلی در انجام فرآیند ترکیبی به عهده نداشته باشد. حساسیت روش افروزش ترکیبی به ناپایداری های هیدرودینامیکی و بستگی آن به سهم هر ساز و کار نیازمند محاسبات عددی است، اما با توجه به اینکه فرآیند متراکم کردن سوخت در روش ترکیبی با سرعتی قابل مقایسه با روش افروزش شوکی صورت می گیرد و مقدار انرژی صرف

<sup>۱</sup>. سرعت انتشار صوت درون سوخت متراکم شده در حد  $2/5 \times 10^7$  سانتیمتر بر ثانیه است. با توجه به  $R_h \sim 10^{-3} \text{ cm}$ ، تأخیر زمانی از مرتبه  $50$  پیکوثانیه برآورد می شود.

انرژی مورد نظر به ازای جرم سوخت معلوم از مزایای بارز روشن افروزش ترکیبی به شمار می‌آیند.

روش ترکیبی افروزش سریع-شوکی را به خوبی نشان می‌دهد. کاسته شدن از انرژی کل محرک‌های لیزری افروزندۀ سوخت و محرک سریع برای دستیابی به بهره

## مراجع

13. S A Slutz and R A Vesey, *Phys. Plasmas* **12** (2005) 062702.
14. M D Rosen, J D Lindl, and A R Thiessen, LLNL *Laser Program Annual Report*, UCRL-50021-83, (1983) 3-5.
15. A J Schmitt, J W Bates, S P Obenschain, S T Zalesak, and D E Fyfe, *Phys. Plasmas* **17** (2010) 042701.
16. R Betti, C D Zhou, K S Anderson, L J Perkins, W Theobald, and A A Solodov, *Phys. Rev. Lett.* **95** (2007) 155001.
17. M Lafon, X Ribeyre, and G Schurtz, *Phys. Plasmas* **17** (2010) 052704.
18. J W Bates, A J Schmitt, D E Fyfe, S P Obenschain, and S T Zalesak, *High Energy Density Physics* **6** (2010) 128.
19. B Canaud and M Temporal, *New J. Phys.* **12** (2010) 043037.
20. C D Zhou and R Betti, *Phys. Plasmas* **14** (2007) 072703.
1. Max Tabak *et al.*, *Phys. Plasmas* **1**, 5 (1994) 1626.
2. S Atzeni, *Phys. Plasmas* **6**, 8 (1999) 3316.
3. P A Norreys *et al.*, *Phys. Plasmas* **9** (2000) 3721.
4. M Tabak, D Hinkel, S Atzeni, E M Campbell, and K Tanaka, *Fusion Science and Technology* **49** (2006) 254.
5. C D Zhou *et al.*, *Phys. Rev. Lett.* **98** (2007) 025004.
6. T Johzaki, K Mima, and Y Nakao, *Plasma and Fusion Research* **2** (2007) 041.
7. S Atzeni and M Tabak, *Plasma Phys. Controlled Fusion* **47** (2005) B769.
8. M Tabak and D Callahan, *Nucl. Instrum. Methods A* **544** (2005) 48.
9. J J Honrubia and J Meyer-ter Vehn, *Journal of Physics: Conference Series* **112** (2008) 022055.
10. S Atzeni, C Bellei, and A Schiavi, *33rd EPS Conference on Plasma Phys., Rome*, 19-23 June **30I** (2006).
11. R Kodama *et al.*, *Nature* **418** (2002) 933.
12. W Theobald *et al.*, *Phys. Plasmas* **18** (2011) 056305.